

方正学术出版云服务平台

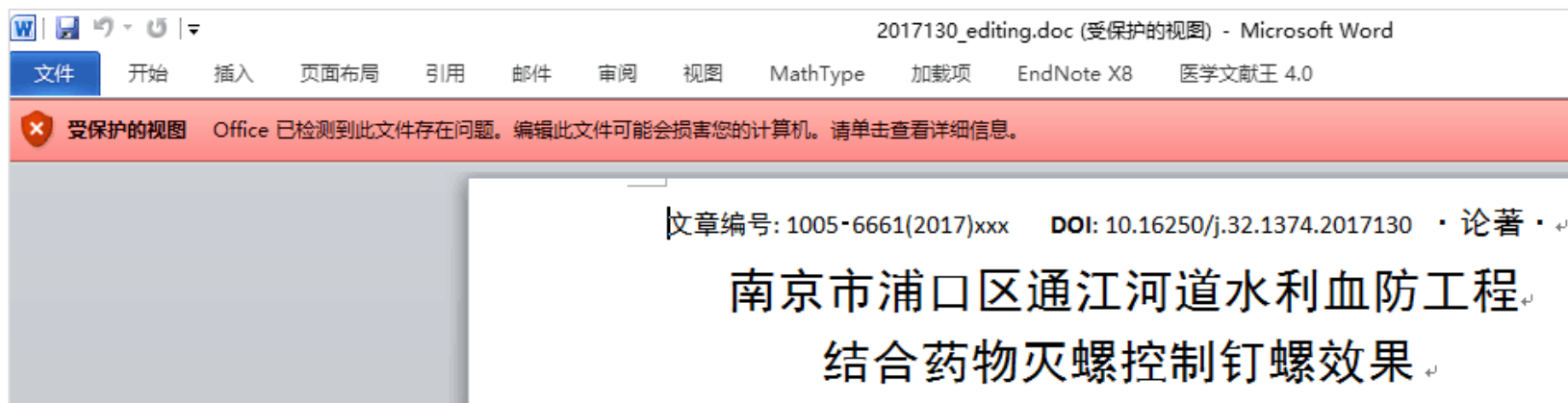
Word规范化示例

北京北大方正电子有限公司

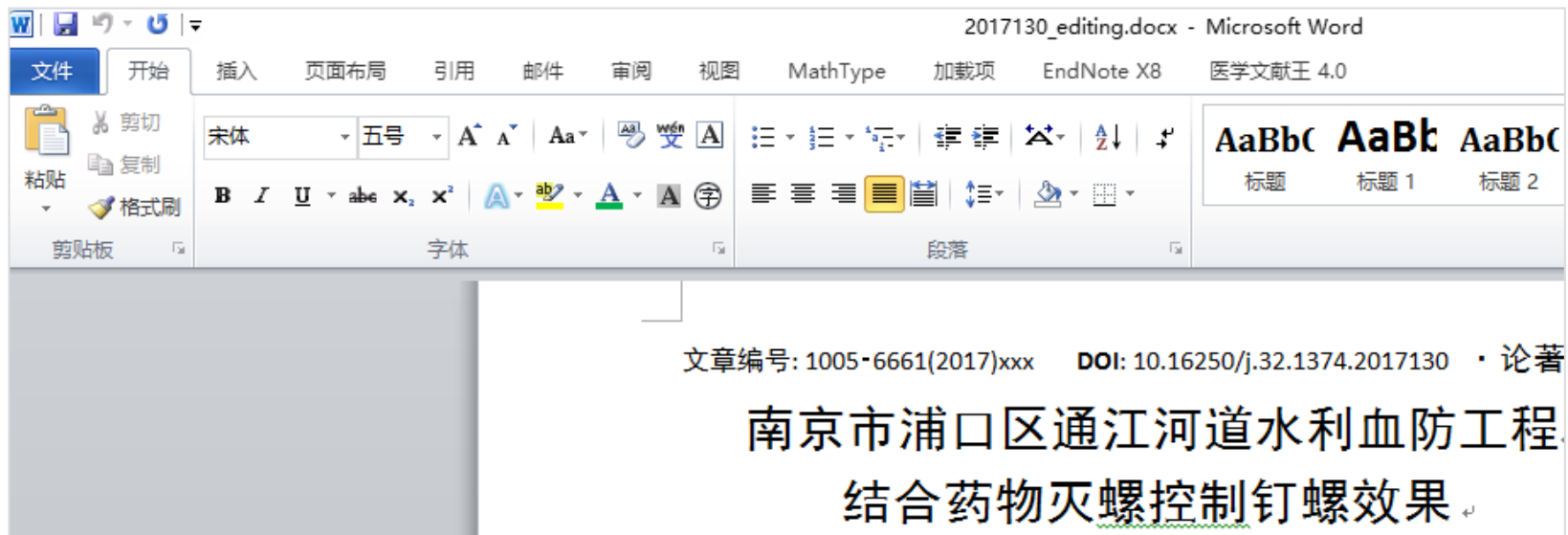
1、Word稿件不要是“受保护的视图”

如果打开显示为“受保护的视图”，可以另存docx文件。

规范化前：

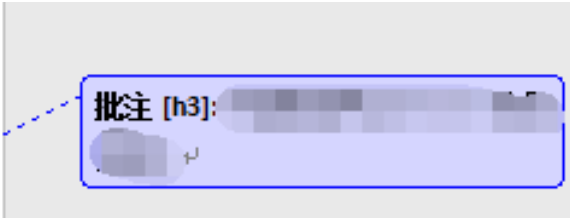


规范化后：



2、如果有修改留痕，需要选择接受修订后的最终状态。

规范化前： 以 10%水合氯醛腹腔注射（3ml/kg）麻醉大鼠，将大鼠侧卧位固定于手术台，进行常规褪毛、备皮及消毒。在左后肢大腿股骨[中点 0.5cm 处]，与坐骨神经走行方向平行，用手术剪剪开皮肤切口长约 1cm，将肌肉经肌间钝性分离，暴露并游离



批注 [h3]:

规范化后： 以 10%水合氯醛腹腔注射（3ml/kg）麻醉大鼠，将大鼠侧卧位固定于手术台，进行常规褪毛、备皮及消毒。在左后肢大腿股骨中点 0.5cm 处，与坐骨神经走行方向平行，用手术剪剪开皮肤切口长约 1cm，将肌肉经肌间钝性分离，暴露并游离

3、作者单位需要写在作者姓名下方

规范化前：

Effect of water conservancy schistosomiasis control projects

*combined with molluscicide to control *Oncomelania hupensis* snails in*

rivers connecting with Yangtze River in Pukou District, Nanjing City

ZHOU Qiang¹, WAN Li-xin¹, HANG De-rong², YOU Qi-hui¹, YOU Jun¹, ZHANG Yu-lin¹, ZHU Zhao-feng³, HUANG Yi-xin^{2}*

1 Pukou District Center for Disease Control and Prevention, Nanjing City, Jiangsu Province, Nanjing 210031, China; 2 Key Laboratory of National Health and Family Planning Commission on Parasitic Disease Control and Prevention, Jiangsu Provincial Key Laboratory on Parasite and

[基金项目] 江苏省科技支撑计划（社会发展）项目（BE2012621）；水利部疾病防控项目（1260802570）

[作者单位] 1 南京市浦口区疾病预防控制中心；2 国家卫生计生委寄生虫病预防与控制技术重点实验室，江苏省寄生虫与媒介控制技术重点实验室，江苏省血吸虫病防治研究所；3 水利部长江水利委员会血吸虫病防治领导小组办公室

规范化后：

文章编号:1005-6661(2017)xxx··· DOI:10.16250/j.32.1374.2017130

南京市浦口区通江河道水利血防工程 结合药物灭螺控制钉螺效果

周强¹, 万立新¹, 杭德荣², 尤其慧¹, 尤俊¹, 张玉林¹, 朱朝峰³, 黄轶昕^{2*}

1 南京市浦口区疾病预防控制中心；2 国家卫生计生委寄生虫病预防与控制技术重点实验室，江苏省寄生虫与媒介控制技术重点实验室，江苏省血吸虫病防治研究所；3 水利部长江水利委员会血吸虫病防治领导小组办公室

[摘要] **目的** 评价通江河道水利血防工程结合药物灭螺控制钉螺效果。**方法** 选择南京市浦口区朱家山河、七里河和高旺河为研究对象，采用资料回顾和现场调查方法，评估通江河

4、中英文作者单位序号上标

示例一

规范化前：

微小染色体维持蛋白与肿瘤*

王东星^{1,2)},周军年^{1,2)},岳文^{1,2)**},裴雪涛^{1,2)**}

1) 军事科学院军事医学研究院 野战输血研究所干细胞与再生医学研究室,北京·100850;

2) 华南生物医药研究院,广州·510005)

小染色体维持 (Minichromosome maintenance,MCM) 蛋白家族是 DNA 复
 组成部分,在 DNA 复制启动过程和 DNA 损伤修复中发挥着重要作用.MC
 转录调节、染色质重塑和检查点应答中也扮演着重要角色.最近研究发
 恶性肿瘤的发生发展,在不同肿瘤(前列腺癌、子宫内膜癌、卵巢癌、肝
 细胞瘤和髓母细胞瘤等)中呈现异常表达并与肿瘤细胞增殖、侵袭、转移

规范化后：

微小染色体维持蛋白与肿瘤*

王东星^{1,2)},周军年^{1,2)},岳文^{1,2)**},裴雪涛^{1,2)**}

1) 军事科学院军事医学研究院 野战输血研究所干细胞与再生医学研究室,北京·100850;

2) 华南生物医药研究院,广州·510005)

小染色体维持 (Minichromosome maintenance,MCM) 蛋白家族是 DNA 复
 组成部分,在 DNA 复制启动过程和 DNA 损伤修复中发挥着重要作用.MC
 转录调节、染色质重塑和检查点应答中也扮演着重要角色.最近研究发
 恶性肿瘤的发生发展,在不同肿瘤(前列腺癌、子宫内膜癌、卵巢癌、肝
 细胞瘤和髓母细胞瘤等)中呈现异常表达并与肿瘤细胞增殖、侵袭、转移

注：作者单位序号上标中的右括号显示，在模板中控制显示效果

示例二

规范化前：

疗晚期非小细胞肺癌的疗效与安全性临床

胡彬彬^①·陈宝清^①·卢铀^②

疗是肿瘤常见的治疗方式之一。贝伐单抗

一线治疗的抗血管生成制剂。为了扩大

近年来，大量研究除继续探索贝伐单抗在
其在后线及跨线治疗的疗效和安全性。本

规范化后：

疗晚期非小细胞肺癌的疗效与安全性临床

胡彬彬¹·陈宝清¹·卢铀²

疗是肿瘤常见的治疗方式之一。贝伐单抗
本，是目前唯一被批准用于晚期非小细胞肺

一线治疗的抗血管生成制剂。为了扩大

近年来，大量研究除继续探索贝伐单抗在
其在后线及跨线治疗的疗效和安全性。本

治疗的疗效与安全性临床研究进展作一综

注：作者单位序号上标中的圈码显示，在模板中控制显示效果

5、所有的元素不要有强制的换行符（作者单位除外）

例1：下图中标红线处对标题进行了换行，需删除换行符。

规范化前：

Research on disturbances of metro operation based on complex network theory

Song Liangliang¹·Deng Yongliang²·Yuan Jingfeng¹·Li Qiming¹·
 (1·School of Civil Engineering, Southeast University, Nanjing, 210096)·
 (2·School of Mechanics and Civil Engineering, China University of Mining and Technology, Xuzhou, 221116)·
 Abstract: For the purpose of enhancing the safety level of metro operation, 26 disruptive events are identified·

规范化后：

Research on disturbances of metro operation based on complex network
 theory·

Song Liangliang¹·Deng Yongliang²·Yuan Jingfeng¹·Li Qiming¹·
 (1·School of Civil Engineering, Southeast University, Nanjing, 210096)·
 (2·School of Mechanics and Civil Engineering, China University of Mining and Technology, Xuzhou, 221116)·
 Abstract: For the purpose of enhancing the safety level of metro operation, 26 disruptive events are identified·

例2：下图中标红线处对图题进行了换行，需删除换行符。

规范化前：

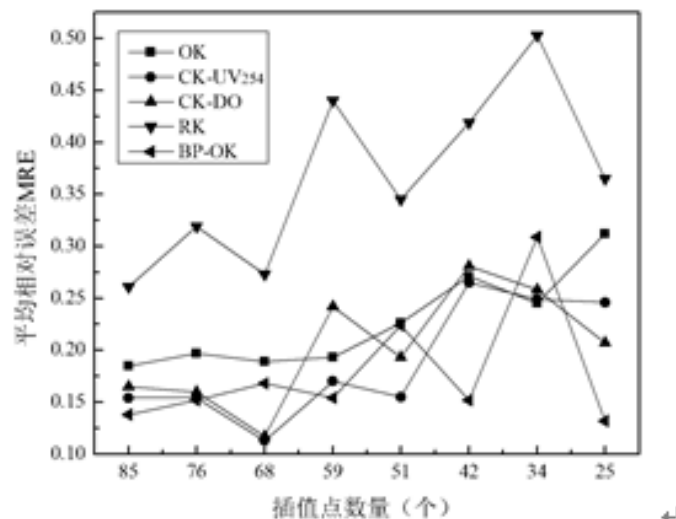


图3 - 不同数量插值点的 COD 浓度空间预测的平均相对误差 MRE

Fig.3 - Mean-relative-errors of COD spatial prediction using different numbers of interpolation points

规范化后：

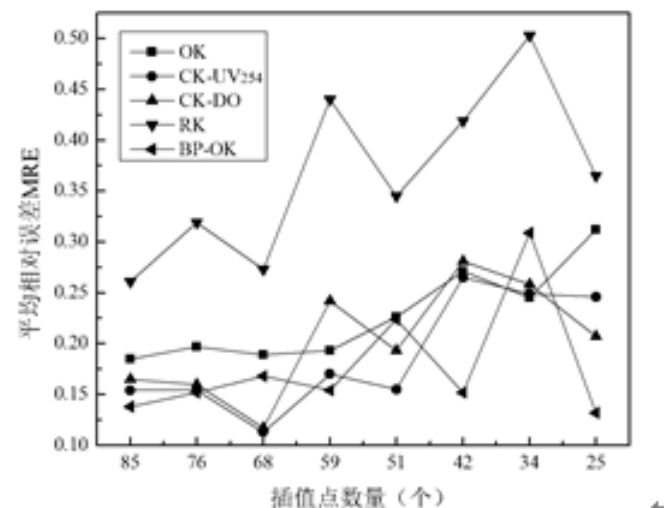


图3 - 不同数量插值点的 COD 浓度空间预测的平均相对误差 MRE

Fig.3 - Mean-relative-errors of COD spatial prediction using different numbers of interpolation points

例3：作者单位有无换行均可，如下两图所示，任一方式均可

作者单位换行图示：基于地统计学—克里格插值法的村镇地表水体水质监测

施周^{1,2,*}，闫杭召^{1,2}，毕晨^{1,2}，邓林^{1,2}

1. 湖南大学土木工程学院, 长沙 410082

2. 湖南大学建筑安全与节能教育部重点实验室, 长沙 410082

作者单位不换行图示：基于地统计学—克里格插值法的村镇地表水体水质监测

施周^{1,2,*}，闫杭召^{1,2}，毕晨^{1,2}，邓林^{1,2}

1. 湖南大学土木工程学院, 长沙 410082； 2. 湖南大学建筑安全与节能教育部重点实验室, 长沙 410082

6、分级标题

1) 分级标题序号和内容之间至少有1个空格（多个空格亦可）

规范化前：

规范化后：

▪ 3.2 驾驶室车内结构声仿真分析

▪ 3.2 · 驾驶室车内结构声仿真分析

3.2.1 驾驶室结构声场模型建立

3.2.1 · 驾驶室结构声场模型建立

为了对驾驶室内部的声场进行分析，建立结构有限元网格如图 7 所示，在底部相应位置加上四个模拟隔振器的弹簧，其具体参数如表 3，自由度为 xyz 三个方向。在驾驶室底板与车架连接处加上四个悬置处

为了对驾驶室内部的声场进行分析，建立结构有限元网格如图 7 所示，在底部相应位置加上四个模拟隔振器的弹簧，其具体参数如表 3，自由度为 xyz 三个方向。在驾驶室底板与车架连接处加上四个悬置处

2) 分级标题需独立成段

规范化前：

1 对象与方法↵

1.1 调查对象 以河南省各级疾病预防控制中心为调查对象 。↵

1.2 调查方法 根据河南省各级疾控中心的科室设置，参考相关文献^[4-5]和专家意见，设计调查表，主要包括寄生虫病防治人员数量、专业、学历、职称、工作年限及流动情况等。↵

规范化后：

1 对象与方法↵

1.1 调查对象 ↵

以河南省各级疾病预防控制中心为调查对象。↵

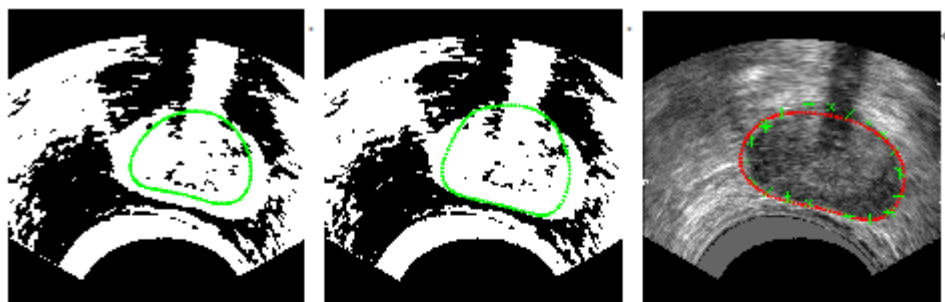
1.2 调查方法 ↵

根据河南省各级疾控中心的科室设置，参考相关文献^[4-5]和专家意见，设计调查表，主要包括寄生虫病防治人员数量、专业、学历、职称、工作年限及流动情况等。↵

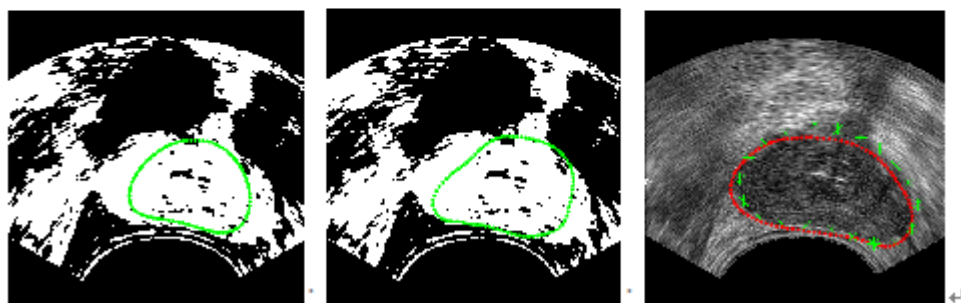
7、组图：

组图的小图题之间至少需要有2个空格（可以多于2个空格）

规范化前：

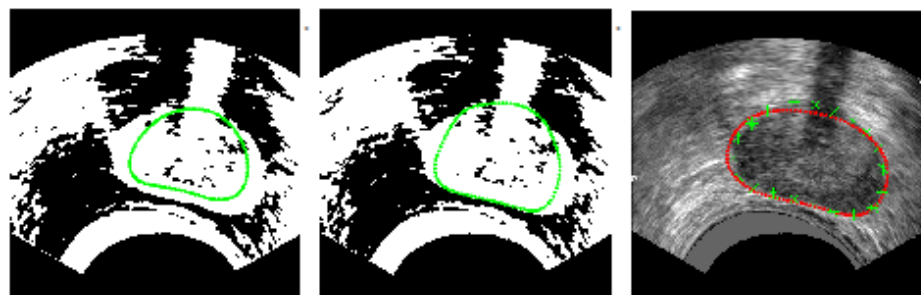


(a)病人 1:初始轮廓 (b)病人 1:iter=6 轮廓 (c)病人 1:前列腺轮廓

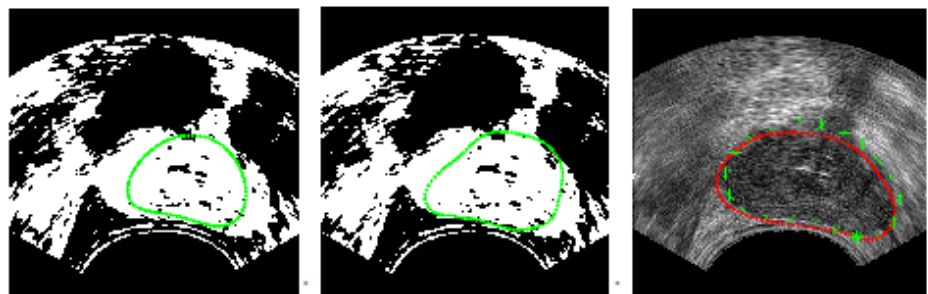


(a)病人 2:初始轮廓 (b)病人 2:iter=6 轮廓 (c)病人 2:前列腺轮廓

规范化后：



(a)病人 1:初始轮廓 (b)病人 1:iter=6 轮廓 (c)病人 1:前列腺轮廓

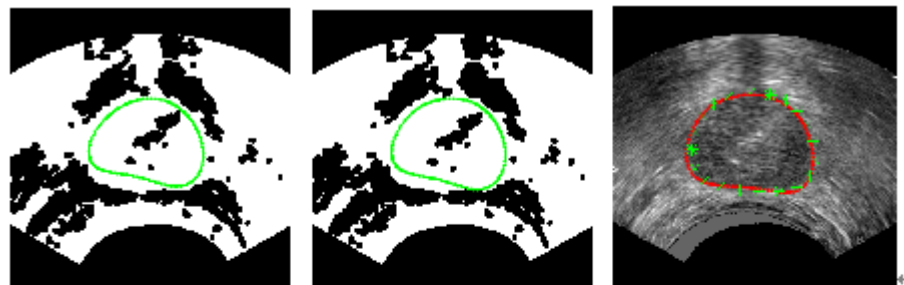


(a)病人 2:初始轮廓 (b)病人 2:iter=6 轮廓 (c)病人 2:前列腺轮廓

8、图注：

- 1) 文章中如有中文图注，需在中文图注前加“注:”
- 2) 文章中如有英文图注，需在英文图注前加“Note(s):”

规范化：



(a)病人 3:初始轮廓 (b)病人 3:iter=6 轮廓 (c)病人 3:前列腺轮廓

图 3. 前列腺的定位结果。

注：第一列为初始轮廓，第二列为迭代次数等于 6 时 ASM 定位的前列腺轮廓，第三列为 ASM 收敛后定位的前列腺轮廓。

9、表格：

- 1) 表格的行和列需对齐
- 2) 表格中不要出现空行或空列
- 3) 表格中不支持插入的线条

表 10 不同 NaCl 浓度梯度对不同苜蓿品种胚根和胚芽重的影响 (十天)

Table 10 The effect of the fresh weight of embryo root and bud of different alfalfa varieties under different NaCl concentration for ten days

规范化前：

		days			
梯度 Concentration		0mmol.L ⁻¹ NaCl	150mmol.L ⁻¹ NaCl	250mmol.L ⁻¹ NaCl	350mmol.L ⁻¹ NaCl
品种 Cultivar					
1- 益宝	胚根	0.0064g	0.0038g	0.0024g	0
	胚芽	0.0187g	0.0182g	0.0084g	0
2-WL525	胚根	0.0071g	0.0050g	0.0037g	0
	胚芽	0.0326g	0.0228g	0.0176g	0

表 10 不同 NaCl 浓度梯度对不同苜蓿品种胚根和胚芽重的影响 (十天)

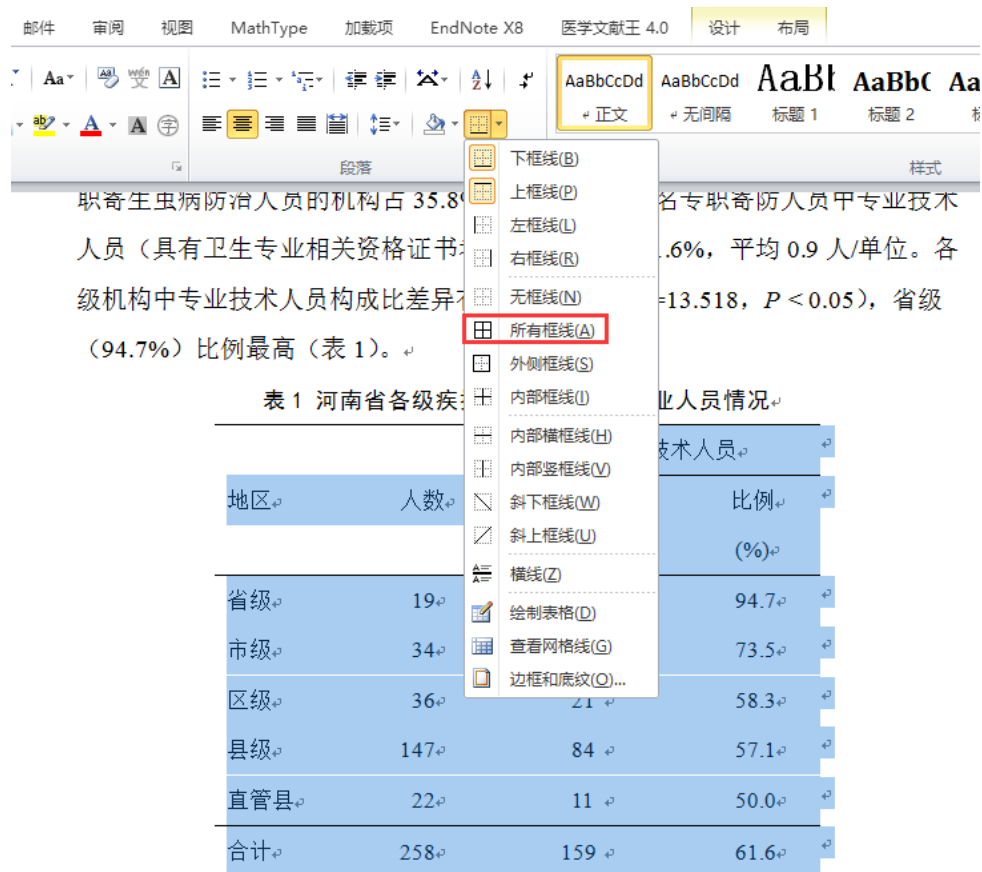
Table 10 The effect of the fresh weight of embryo root and bud of different alfalfa varieties under different NaCl concentration for ten days

规范化后：

		days			
梯度 Concentration		0mmol.L ⁻¹ NaCl	150mmol.L ⁻¹ NaCl	250mmol.L ⁻¹ NaCl	350mmol.L ⁻¹ NaCl
品种 Cultivar					
1- 益宝	胚根	0.0064g	0.0038g	0.0024g	0
	胚芽	0.0187g	0.0182g	0.0084g	0
2-WL525	胚根	0.0071g	0.0050g	0.0037g	0
	胚芽	0.0326g	0.0228g	0.0176g	0

注：如果表格自动排版后出现内容错乱，请先检查表格的行与列是否已对齐。

建议：可以放大表格，将表格所有框线均显示，方便检查（如下图所示）



人员（具有卫生专业相关资格证书者）159人，占61.6%，平均0.9人/单位。各级机构中专业技术人员构成比差异有统计学意义 ($\chi^2=13.518, P < 0.05$)，省级（94.7%）比例最高（表1）。

表 1 河南省各级疾控机构寄生虫病专业人员情况

地区	人数	专业技术人员	
		人数	比例 (%)
省级	19	18	94.7
市级	34	25	73.5
区级	36	21	58.3
县级	147	84	57.1
直管县	22	11	50.0
合计	258	159	61.6

10、Word稿件中不要有文本框

当出现文本框时，需将文本框中的内容剪切出来，删除文本框

规范化前：

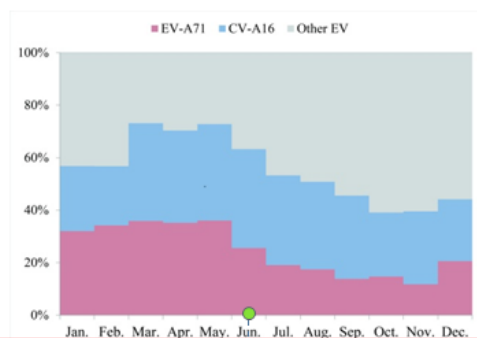


图1 2014~2015年重庆市不同月份的病原检出情况

Figure1 The result of detection of pathogen in each month in Chongqing from 2014 to 2015, China

2.3 EV-A71 基因特征分析 按地区和发病时间以及是否为重症选取 2014 年 EV-A71 阳性分离代表株 20 株、2015 年 35 株，进行 VP1 区全长扩增序列分析。参照文献^[4]上从 [GenBank](#) 上下

规范化后：

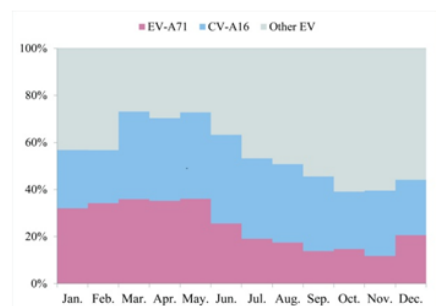


图1 2014~2015年重庆市不同月份的病原检出情况

Figure1 The result of detection of pathogen in each month in Chongqing from 2014 to 2015, China

2.3 EV-A71 基因特征分析 按地区和发病时间以及是否为重症选取 2014 年 EV-A71 阳性分离

11、公式

1) 公式需使用mathtype或Word“插入” 菜单下的“公式” 的方式编辑，不要使用图片。

规范化前
(图片) :

1.6 统计学分析↵

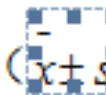
所有数据采用 SPSS 17.0 软件进行统计学处理，结果以均数±标准差 ($\bar{x} \pm S$) 表示，多组间比较采用方差分析，组间比较若方差齐选用 LSD 法，方差不



规范化后
(mathtype) :

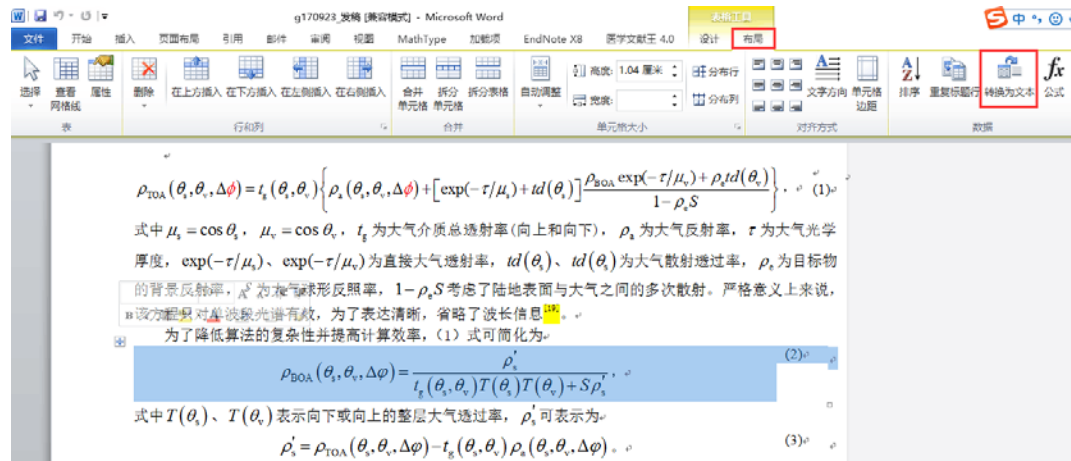
1.6 统计学分析↵

所有数据采用 SPSS 17.0 软件进行统计学处理，结果以均数±标准差 ($\bar{x} \pm s$) 表示，多组间比较采用方差分析，组间比较若方差齐选用 LSD 法，方差不齐选用非参数检验， $p < 0.05$ 为差异有统计学意义的标准。↵



2) 公式不要放在表格或文本框中，
出现文本框时，需将文本框删除；出现表格时，需将表格转文本进行处理。

规范化前
(公式在表格中)：



规范化后：

的背景反射率， S 为大气球形反照率， $1 - \rho_s S$ 考虑了陆地表面与大气之间的多次散射。严格意义上来说，该方程只对单波段光谱有效，为了表达清晰，省略了波长信息。

为了降低算法的复杂性并提高计算效率，(1) 式可简化为

$$\rho_{BOA}(\theta_s, \theta_v, \Delta\varphi) = \frac{\rho'_s}{t_g(\theta_s, \theta_v) T(\theta_s) T(\theta_v) + S \rho'_s} \quad (2)$$

式中 $T(\theta_s)$ 、 $T(\theta_v)$ 表示向下或向上的整层大气透射率， ρ'_s 可表示为

$$\rho'_s = \rho_{TOA}(\theta_s, \theta_v, \Delta\varphi) - t_g(\theta_s, \theta_v) \rho_a(\theta_s, \theta_v, \Delta\varphi) \quad (3)$$

在大气传输情况下，大气介质总透射率 t_g 可表示为

3) 公式的表达式和条件在两个对象里，需将表达式和条件处理为一个公式对象

规范化前

(两个公式对象) :

$$\sigma_{\text{neck}} = \frac{d\sigma_{\text{true}}}{d\varepsilon_{\text{true}}} \quad (12)$$

$$\sigma_{\text{true}} = \sigma_{\text{neck}} + \omega \sigma_{\text{neck}} (\varepsilon_{\text{true}} - \varepsilon_{\text{neck}}) \quad (0 < \omega < 1) \quad (13)$$

式中， σ_{neck} 和 $\varepsilon_{\text{neck}}$ 为颈缩时刻材料的真实应力和真实应变， ω 是材料参数，经材料试验确定。

规范化后

(一个公式对象) :

$$\sigma_{\text{neck}} = \frac{d\sigma_{\text{true}}}{d\varepsilon_{\text{true}}} \quad (12)$$

$$\sigma_{\text{true}} = \sigma_{\text{neck}} + \omega \sigma_{\text{neck}} (\varepsilon_{\text{true}} - \varepsilon_{\text{neck}}) \quad (0 < \omega < 1) \quad (13)$$

式中， σ_{neck} 和 $\varepsilon_{\text{neck}}$ 为颈缩时刻材料的真实应力和真实应变， ω 是材料参数，经材料试验确定。

4) 编号和公式需在同一段落内，公式和编号之间不要加回车符。

编号不要放在公式对象中，如遇编号在公式对象中，需将编号剪切放在公式对象外。

规范化前：

因此，JC-DDF 模型可表达如式(7)，

$$D = \int \frac{d\varepsilon_p}{\varepsilon_p^{\text{critical}}(T)} = \int \frac{d\varepsilon_p}{C_1 + C_2 \exp(C_3 T)} = 1 \quad (7)$$

由于式(7)为积分形式，利用试验数据直接校

规范化后：

因此，JC-DDF 模型可表达如式(7)，

$$D = \int \frac{d\varepsilon_p}{\varepsilon_p^{\text{critical}}(T)} = \int \frac{d\varepsilon_p}{C_1 + C_2 \exp(C_3 T)} = 1 \quad (7)$$

由于式(7)为积分形式，利用试验数据直接校

12、多个基金项目之间用分号分割，项目编号在放在（ ）中。

规范化：

作者简介：毕卉(1985—)，女，博士生；舒华忠(联系人)，男，博士，教授，博士生导师，shu.list@seu.edu.cn。

基金项目：国家自然科学基金资助项目(61271312, 61201344, 61401085, 31571001, 81530060)；江苏省自然科学基金资助项目(BK2012329, BK2012743, BK20150647, DZXX-031, BY2014127-11)。

↵

12、我们尊重原稿。

例如：（1）通讯作者是否需要打*号，请在word稿件中进行标注。

（2）中图分类号、文献标识码等，需要在原稿中进行添加。

（3）图片的大小最好以实际出版刊物的图片大小为准，以便自动化排版出来的效果更接近印刷要求。

联系我们

固定电话：010-82531169（9:00-18:00）

联系邮箱：3520901992@qq.com

服务QQ号：3520901992

使用平台过程中，遇到任何问题都可以联系服务QQ，方正服务支持团队竭诚为您服务。



T

H

A

N

K

S

